

Ultimo aggiornamento delle informazioni: Febbraio 2018



incasso LED orientabile estraibile - alimentazione DALI inclusa

Codice prodotto
MU47

Descrizione tecnica

Apparecchio ad incasso orientabile estraibile per sorgente LED warm white. Sistema passivo di dispersione termica. Cornice e corpo principale in alluminio pressofuso; cerniere di rotazione in acciaio. Anello di rotazione con carter protettivo in materiale termoplastico ad alta resistenza. Orientamento del corpo con dispositivo di manovra manuale: interno 40° - esterno 65° - rotazione sull'asse 355°. Riflettore con ottica ad alta efficienza in alluminio superpuro - apertura wideflood. Anello di chiusura del corpo lampada in alluminio pressofuso. Vetro di protezione trasparente temperato. Alimentatore dimmerabile DALI fornito in dotazione collegato all'apparecchio.

Installazione

ad incasso con molle in acciaio per controsoffitti con spessore a partire da 1 mm; foro di preparazione Ø 125 mm

Dimensione (mm)

Ø136x98

Colore

Bianco (01)

Peso (Kg)

0.85

Montaggio

incasso a soffitto

Cablaggio

su box alimentatore con connessioni ad innesto rapido

Soddisfa EN60598-1 e relative note

IP20 IP23 Sul prodotto visibile dopo l'installazione



Configurazione di prodotto: MU47

Caratteristiche del prodotto

Flusso totale emesso [Lm]: 1558.6
Potenza totale [W]: 17.3
Efficienza luminosa [Lm/W]: 90.1
Life Time: 50,000h - L80 - B10 (Ta 25°C)

Flusso totale disperso verso l'alto [Lm]: 0
Flusso in emergenza [Lm]: /
Tensione [V]: -
Numero di vani: 1

Caratteristiche del vano Tipo 1

Rendimento [%]: 78
Codice lampada: LED
Codice ZVEI: LED
Potenza nominale [W]: 14
Flusso nominale [Lm]: 2000
Intensità massima [cd]: /
Angolo di apertura [°]: 54°

Numero di lampade per vano: 1
Attacco: /
Perdite del trasformatore [W]: 3.3
Temperatura colore [K]: 3000
IRC: 80
Lunghezza d'onda [Nm]: /
Step MacAdam: 3

Polare

| CIE nL 0.78 97-100-100-100-78 UGR 18.5-18.5 DIN A.61 UTE 0.78A+0.00T F*1=965 F*1+F*2=997 F*1+F*2+F*3=1000 CIBSE BZ1 | Lux | | | |
|---|-----|-----|-----|------|
| | h | d | Em | Emax |
| | 2 | 2 | 400 | 516 |
| | 4 | 4.1 | 100 | 129 |
| | 6 | 6.1 | 44 | 57 |
| | 8 | 8.2 | 25 | 32 |

Coefficienti di utilizzazione

| R | 77 | 75 | 73 | 71 | 55 | 53 | 33 | 00 | DRR |
|------|----|----|----|----|----|----|----|----|-----|
| K0.8 | 69 | 65 | 63 | 60 | 65 | 62 | 62 | 59 | 76 |
| 1.0 | 72 | 69 | 66 | 65 | 68 | 66 | 66 | 63 | 81 |
| 1.5 | 76 | 74 | 72 | 70 | 73 | 71 | 70 | 68 | 87 |
| 2.0 | 79 | 77 | 75 | 74 | 76 | 75 | 74 | 71 | 92 |
| 2.5 | 80 | 79 | 78 | 77 | 78 | 77 | 76 | 74 | 95 |
| 3.0 | 81 | 80 | 80 | 79 | 79 | 78 | 77 | 75 | 97 |
| 4.0 | 83 | 82 | 81 | 81 | 80 | 80 | 79 | 77 | 98 |
| 5.0 | 83 | 82 | 82 | 82 | 81 | 81 | 79 | 78 | 99 |

Curva limite di luminanza

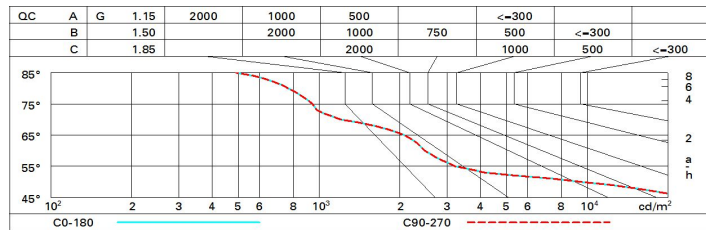


Diagramma UGR

| Corrected UGR values (at 2000 lm bare lamp luminous flux) | | | | | | | | | | | |
|---|------|------|------|-----------|-------|------|------|------|---------|------|------|
| Reflect.: | | | | | | | | | | | |
| ceil/cav | | 0.70 | 0.70 | 0.50 | 0.50 | 0.30 | 0.70 | 0.70 | 0.50 | 0.50 | 0.30 |
| walls | | 0.50 | 0.30 | 0.50 | 0.30 | 0.30 | 0.50 | 0.30 | 0.50 | 0.30 | 0.30 |
| work pl. | | 0.20 | 0.20 | 0.20 | 0.20 | 0.20 | 0.20 | 0.20 | 0.20 | 0.20 | 0.20 |
| Room dim | | | | | | | | | | | |
| x | y | | | | | | | | | | |
| | | | | viewed | | | | | viewed | | |
| | | | | crosswise | | | | | endwise | | |
| 2H | 2H | 19.1 | 19.7 | 19.3 | 19.9 | 20.2 | 19.1 | 19.7 | 19.3 | 19.9 | 20.2 |
| | 3H | 18.9 | 19.5 | 19.3 | 19.8 | 20.0 | 18.9 | 19.5 | 19.2 | 19.8 | 20.0 |
| | 4H | 18.9 | 19.4 | 19.2 | 19.7 | 20.0 | 18.9 | 19.4 | 19.2 | 19.7 | 20.0 |
| | 6H | 18.8 | 19.3 | 19.1 | 19.6 | 19.9 | 18.8 | 19.3 | 19.1 | 19.6 | 19.9 |
| | 8H | 18.8 | 19.2 | 19.1 | 19.5 | 19.9 | 18.7 | 19.2 | 19.1 | 19.5 | 19.9 |
| | 12H | 18.7 | 19.2 | 19.1 | 19.5 | 19.8 | 18.7 | 19.2 | 19.1 | 19.5 | 19.8 |
| 4H | 2H | 18.9 | 19.4 | 19.2 | 19.7 | 20.0 | 18.9 | 19.4 | 19.2 | 19.7 | 20.0 |
| | 3H | 18.7 | 19.2 | 19.1 | 19.5 | 19.9 | 18.7 | 19.2 | 19.1 | 19.5 | 19.9 |
| | 4H | 18.6 | 19.0 | 19.0 | 19.4 | 19.8 | 18.6 | 19.0 | 19.0 | 19.4 | 19.8 |
| | 6H | 18.6 | 18.9 | 19.0 | 19.3 | 19.7 | 18.5 | 18.9 | 19.0 | 19.3 | 19.7 |
| | 8H | 18.5 | 18.8 | 18.9 | 19.2 | 19.7 | 18.5 | 18.8 | 18.9 | 19.2 | 19.7 |
| | 12H | 18.5 | 18.7 | 18.9 | 19.2 | 19.6 | 18.5 | 18.7 | 18.9 | 19.2 | 19.6 |
| 8H | 4H | 18.5 | 18.8 | 18.9 | 19.2 | 19.7 | 18.5 | 18.8 | 18.9 | 19.2 | 19.7 |
| | 6H | 18.4 | 18.7 | 18.9 | 19.1 | 19.6 | 18.4 | 18.7 | 18.9 | 19.1 | 19.6 |
| | 8H | 18.4 | 18.6 | 18.8 | 19.0 | 19.5 | 18.4 | 18.6 | 18.8 | 19.0 | 19.5 |
| | 12H | 18.3 | 18.5 | 18.8 | 19.0 | 19.5 | 18.3 | 18.5 | 18.8 | 19.0 | 19.5 |
| 12H | 4H | 18.5 | 18.7 | 18.9 | 19.2 | 19.6 | 18.5 | 18.7 | 18.9 | 19.2 | 19.6 |
| | 6H | 18.4 | 18.6 | 18.8 | 19.0 | 19.5 | 18.4 | 18.6 | 18.8 | 19.0 | 19.5 |
| | 8H | 18.3 | 18.5 | 18.8 | 19.0 | 19.5 | 18.3 | 18.5 | 18.8 | 19.0 | 19.5 |
| Variations with the observer position at spacing: | | | | | | | | | | | |
| S = | 1.0H | | 5.1 | / | -13.5 | | 5.1 | / | -13.5 | | |
| | 1.5H | | 7.9 | / | -14.7 | | 7.9 | / | -14.7 | | |
| | 2.0H | | 9.9 | / | -15.9 | | 9.9 | / | -15.9 | | |